

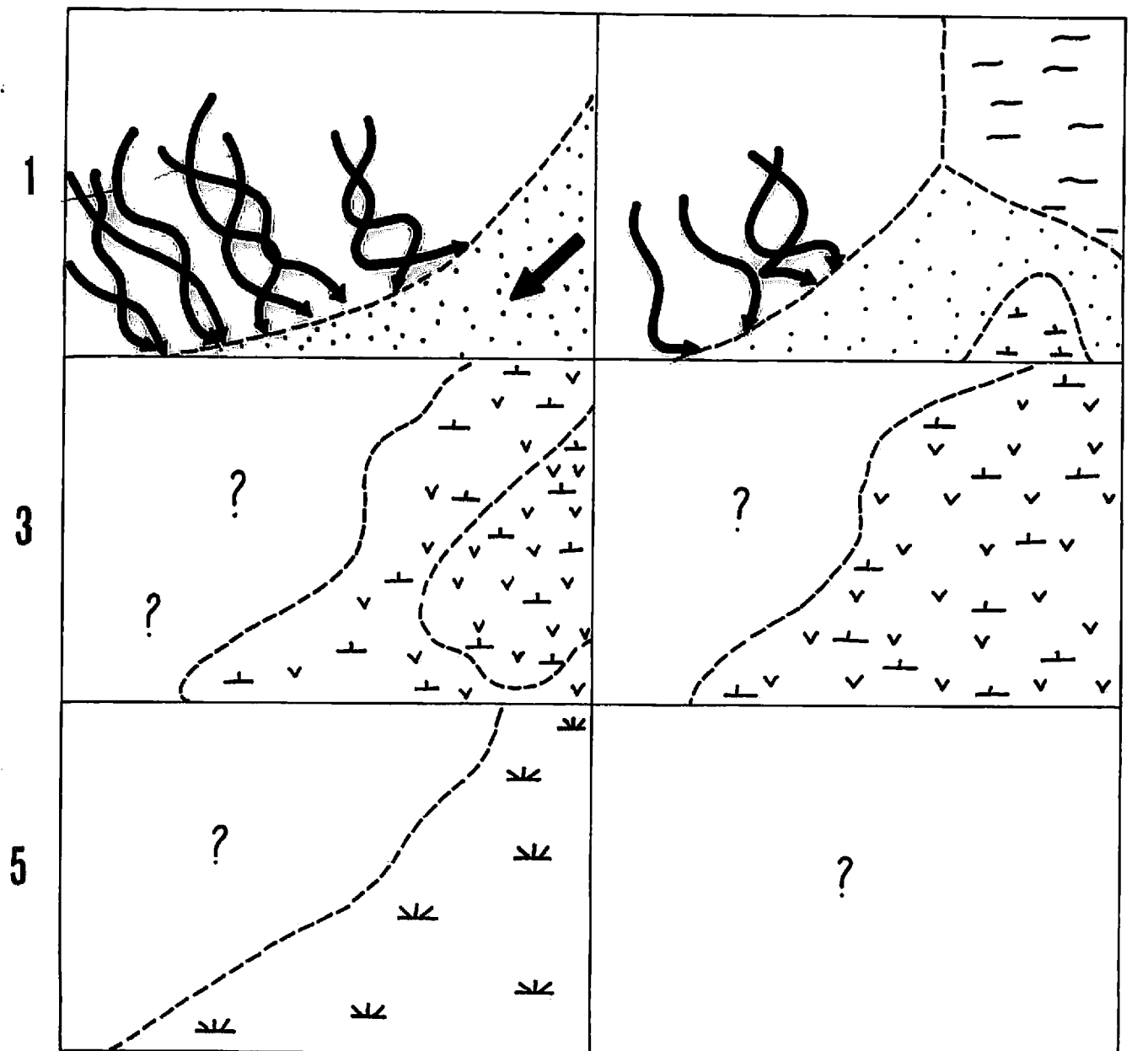
20236

**INFORME PALEOGEOGRAFICO
HOJA N° 236**

A STUDILLO

20236

ASTUDILLO



1 Facies Tierra de Campos.

4 Vindobonense Superior.

2 Terminacion Facies Tierra de Campos.

5 Pontiense.

3 Vindobonense Medio.

6 2º Paramo.

LEYENDA



Deposito de abanicos aluviales con desarrollo de canales anastomosados.



Sistemas fluviales con desarrollo de meandros.



Llanura de inundacion.



Lagunar.



Margas con yesos.



Margas.



Abanico de distribucion de depositos de triticos.



Zonas de Transicion arcillo margosa.

MEMORIA PALEOGEOGRAFICA MAPA ASTUDILLO

Durante el Vindoboniense Inferior a Medio, las condiciones de depósito que originaron los materiales arcillo arenosos de la facies "tierra de campos" corresponden a depósitos de abanicos aluviales con desarrollo de canales aluviales anastomosados y en ocasiones, como en las zonas del SE a sistemas fluviales con desarrollo de meandros.

Así pues, ambos sistemas con área fuente lejanas, en un clima ligeramente árido, realizan el relleno de la depresión, con materiales de granulometría fina.

Hacia el SE, se desarrollan facies "playa", posiblemente por cambio de área madre, y con cambiso laterales de las arcillas y arenas a depósitos margosos con yesos.

En el Vindoboniense Medio, el medio sedimentario corresponde a un régimen de lagunas y charcas con carácter efímero constituidas fundamentalmente por calizas, cortezas calcáreas y margas con yesos, depositadas en un clima muy árido en paso gradual desde los materiales de abanicos aluviales inferiores.

Entre el Vindoboniense Medio y el Superior, dentro de las condiciones de aridez, la aparición de una etapa más húmeda, de muy corta duración, permitió el depósito de niveles calcáreos más continuos bajo condiciones lagunares.

Más al N., fuera de la Hoja, existe cambio lateral a facies de abanicos aluviales.

Este régimen de lagunas efimeras, en clima árido, pasaría durante el Pontiense a convertirse en régimen lagunar más amplio y continuo, hasta llegar a ser un régimen lacustre, poco profundo que originó los depósitos calcáreos que, normalmente, coronan esta región, siempre con fauna típicamente lacustre.

Estas facies calcáreas, hacia el N. y E., a medida que nos acercamos a las áreas madre perderían su importancia, pasando a estar constituidas por depósitos detríticos.

En el Cuaternario, el aterrazamiento de los ríos estuvo muy influenciado por las deformaciones locales de los sedimentos terciarios, provocando la fusión de los distintos niveles de terrazas, como ocurre en el borde W. de la Hoja. Se registra un proceso de captura entre el río Vallarna y el Valdivia, proceso que provocaría el gran desarrollo de terrazas entre Bahadilla - del Camino e Itero de la Vega.

20236

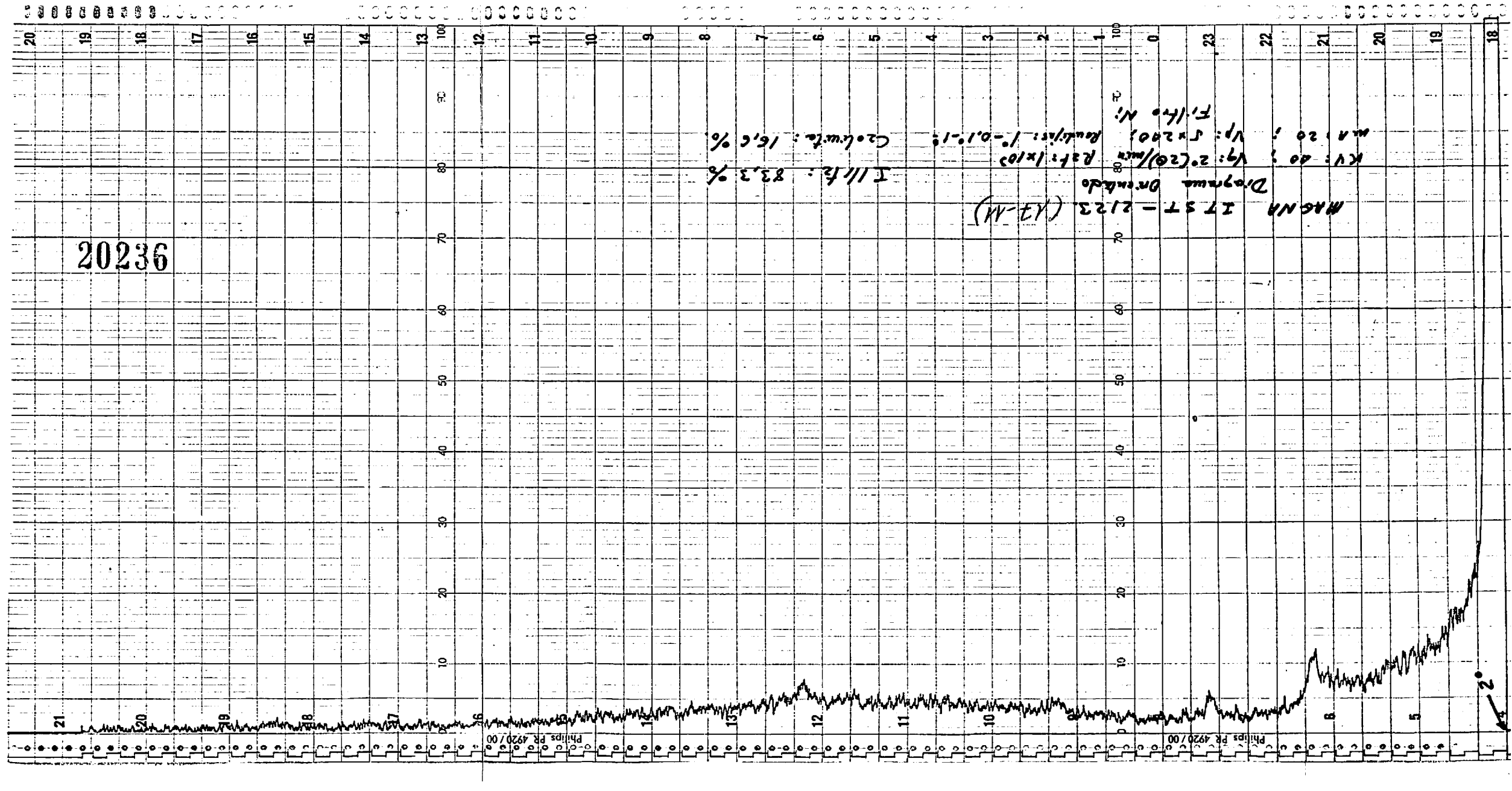
HOJA 1711 (ASTUDILLO)

RELACION DE MUESTRAS CALIZAS ESTUDIADAS

- IT-CN-1075.- Micrita con fósiles, ostrácodos y gasterópodos. Recristalización a microsparita.
- IT-CN-1081.- Micrita con fósiles, ostrácodos y gasterópodos, recristalización parcial a pseudosparita.
- IT-CN-1085.- Micrita con fósiles, oogonios, ostrácodos, dismicrita, recristalización parcial a pseudosparita.
- IT-CN-1087.- Micrita con fósiles, talos de chara, gasterópodos.
- IT-CN-1090.- Micrita con fósiles, dismicrita, recristalización parcial a pseudosparita.
- IT-CN-1093.- Micrita algo arcillosa.
- IT-MR-1503.- Micrita con fósiles, dismicrita algo arcillosa, oogonios, ostrácodos, gasterópodos.
- IT-MR-1506.- Micrita arcillosa, algo arenosa (cuarzo policristalino, chert, microclinas y ortosas), gasterópodos y ostracodos.
- IT-MR-1509.- Micrita arcillosa con fósiles, ostrácodos y oogonios.
- IT-MR-1512.- Biomicrita arcillosa, ostrácodos, oogonios, gasterópodos.
- IT-MR-1513.- Biomicrita arcillosa, ostrácodos, oogonios y gasterópodos.
- IT-MR-1515.- Micrita con escasos fósiles y algún grano de cuarzo.
- IT-MR-1523.- Micrita arcillosa con algún ostrácodoo.
- IT-MR-1538.- Micrita con oogonios y ostrácodos.
- IT-MR-1524.- Micrita con ostrácodos. Recristalización parcial a - microsparitas.
- IT-MR-1522.- Micrita con fósiles, ostrácodos y gasterópodos.
- IT-ST-2104.- Micrita con fósiles, ostrácodos, recristalización parcial a pseudosparita.
- IT-ST-2105.- Biomicrita. Dismicrita. Oogonios, ostrácodos, gasterópodos, recristalización parcial a pseudosparita.
- IT-ST-2107.- Micrita con fósiles, oogonios, gasterópodos. Recristalización a microsparita.

- IT-ST-2108.- Biomicrita arcillosa, foraminíferos, globotruncanas.
Algo arenosa.
- IT-ST-2059.- Biomicrita arcillosa, oogonios, ostrácodos, gasterópodos.
- IT-GA-2598.- Micrita arcilloarenosa, con ostrácodos y oogonios.
- IT-GA-2599.- Micrita con fósiles, ostrácodos, oogonios.
- IT-GA-2603.- Micrita arcillosa con fósiles, ostrácodos, gasterópo
dos y oogonios de chara.
- IT-GA-2604.- Micrita con fósiles ostrácodos y oogonios.
- IT-GA-2607.- Biomicrita arcillosa. Dismicrita. Oogenios y ostráco
dos. Recristalización a pseudosparita.
- IT-GA-2608.- Micrita arenosoarcillosa con algunos ostrácodos.
- IT-GA-2610.- Micrita con ostrácodos y gasterópodos.
- IT-GA-2606.- Micrita con fósiles, ostrácodos, oogonios, gasterópo
dos.

20236



20236

100

四〇九

10 20 30 40 50 60 70 80 90 100

b9
2,644

808

18

३२

1

MAGNA 2T CN 1077 (17-11)

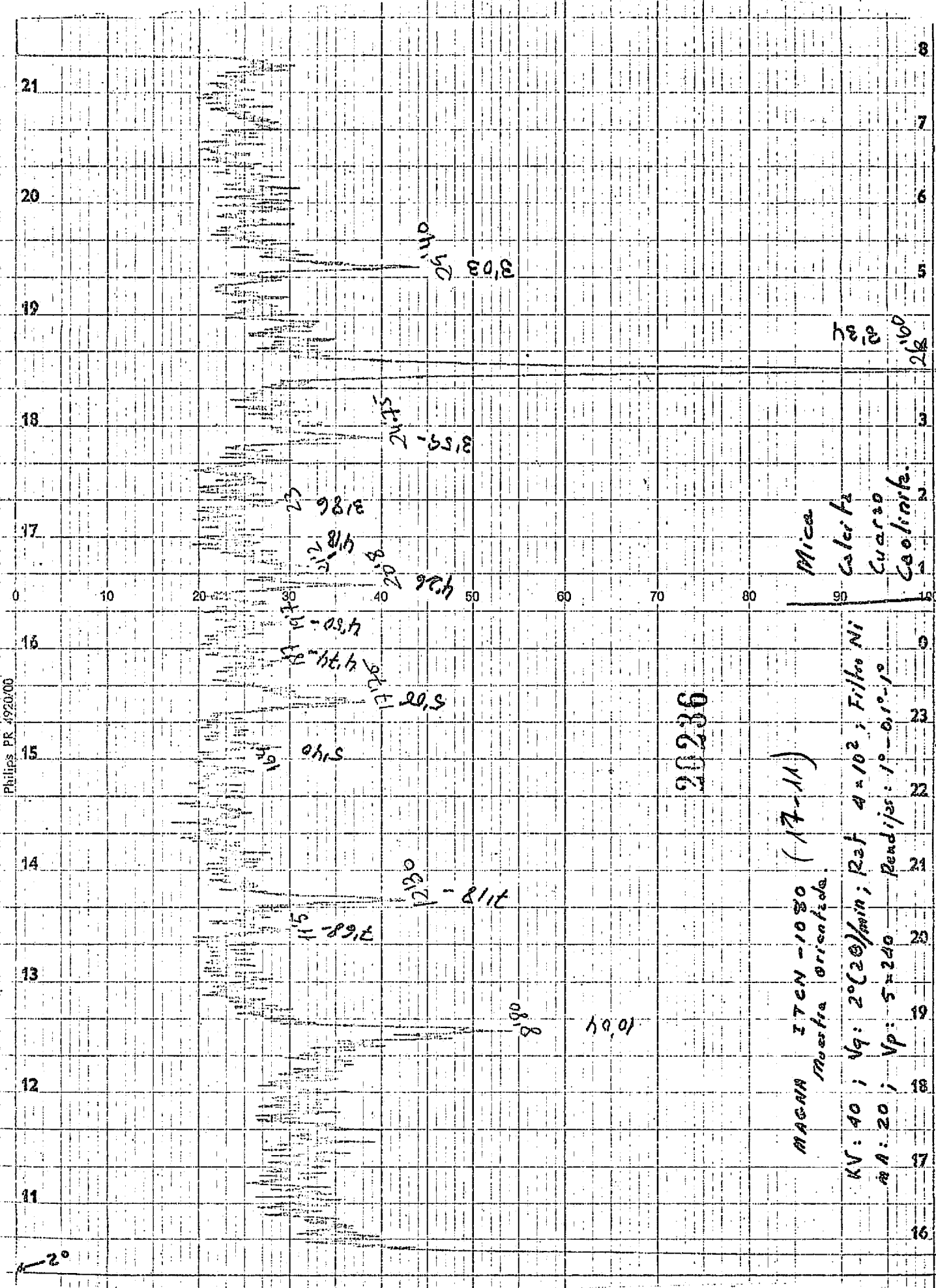
Diagrama Polvo.

KV: 40; KV_g: 2°(20)/min. Rat: 1×10²

MA: 20; VP: 5 = 240. Period: 10°-0,1°-1°

Filtre Ni

— 6 —



MAGNA ITEN-1080 (17-11)
Moorhen Orientalis

卷之三

$R_{23} = 10^2$; $F_{1100} Ni$

11

27

四

123

202

۱۹۳

40

KV

10

1

Readings: $1^{\circ} - 0.1^{\circ} - 1^{\circ}$

四

10

sc/p

26

5240

10

20

11

11

Mice (21/10)

Cacozo

Colinwz

Fos Alcalies

Carboato Can Kortz?

Blouturi llowitz?

10'04

8'80

14'47

19

2162 =

2180 =

5'02

4'26

20'08

6'19

21'12

3'25

4'12

21'90

8'02

7'12

10'02

10'02

10'02

09'92

3'34

MAGNA IT MR 15.25 (17-11)

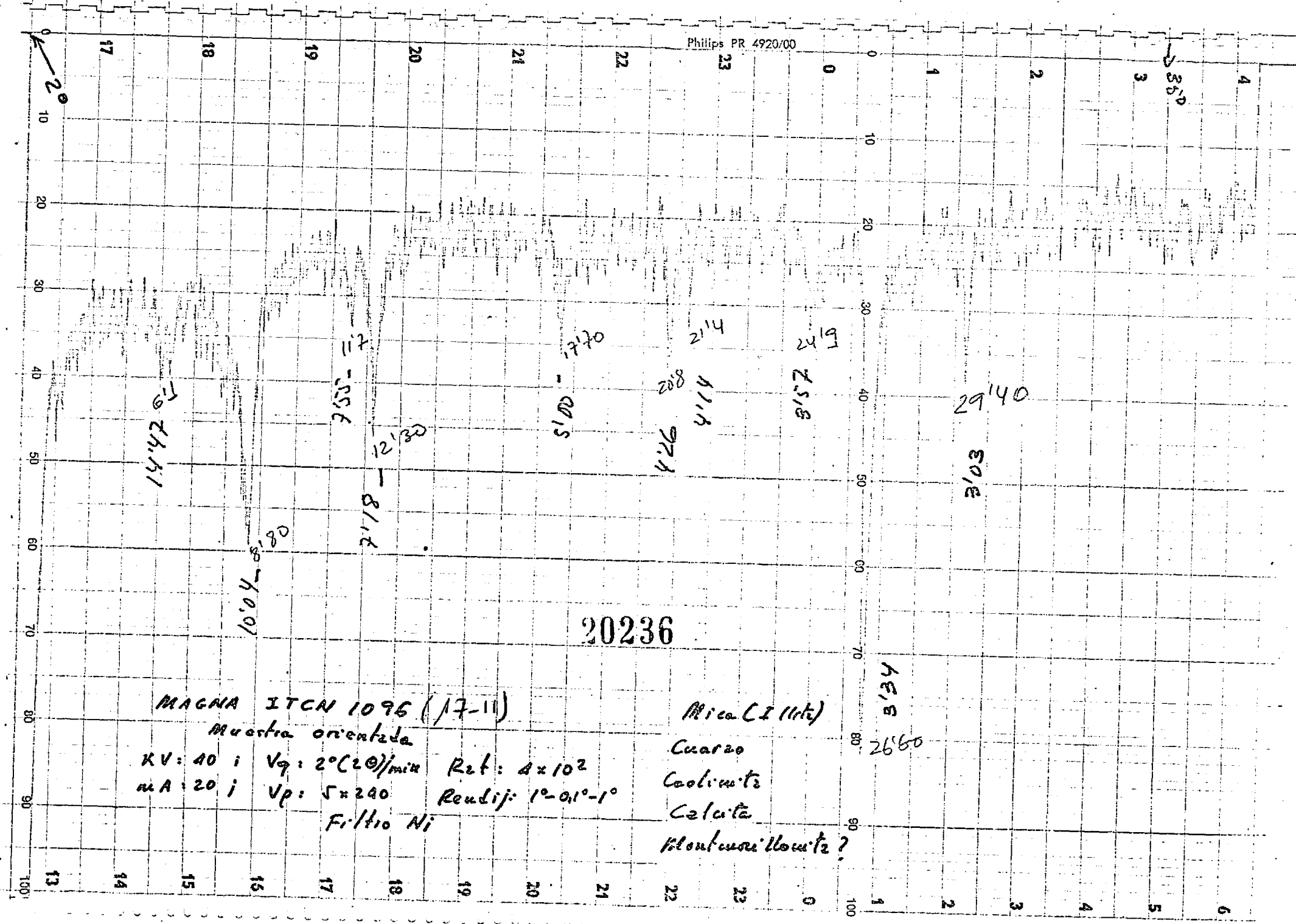
XV: 40; Vg: 2°C 20/min Rst: 4 x 10²

mA: 20; Vp: 5 x 240 Read: 10 - 0,1° - 1°

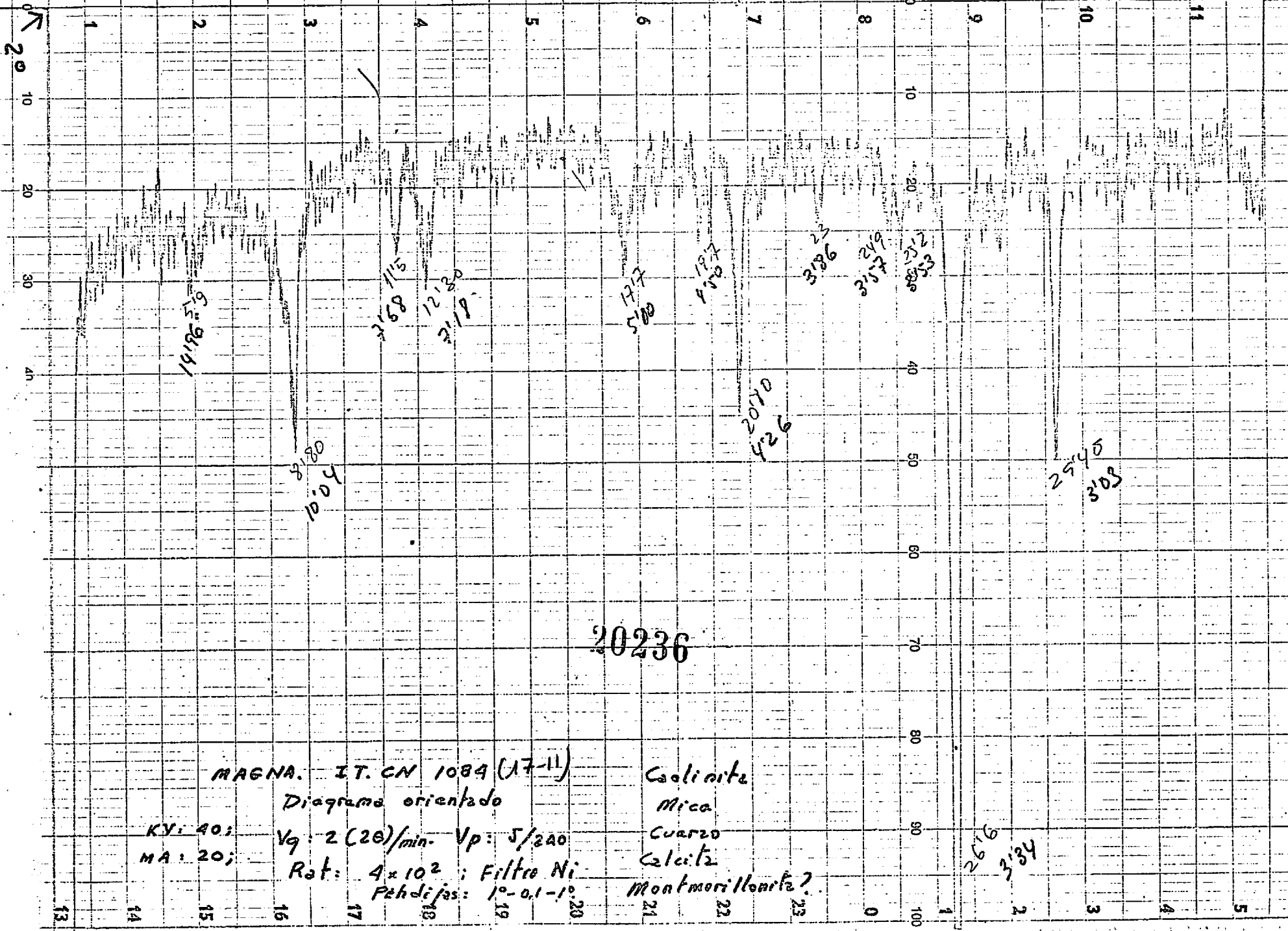
Fil/fro Ni.

20236

Philips PR 7920/00



Philips PR 2920/00



33 Philips PR 4920/00

33 Philips PR 4920/00

MAGNA IT 1095 (17-11).

D. Orient to

$$KV: \vartheta_0: V_0 = 2(2\varphi)/\pi = R_{21} : 1 \times 10^3$$

$$mA: 20; V_2: 5 \times 240: 2nd: 1.0 \times 10^3$$

Ti: 1/10 Ni.

Coatings

Course
Wires (7/16")

Collets.

10 20 30 40 50 60 70 80 90 100

10 20 30 40 50 60 70 80 90 100

10 20 30 40 50 60 70 80 90 100

10 20 30 40 50 60 70 80 90 100

10 20 30 40 50 60 70 80 90 100

10 20 30 40 50 60 70 80 90 100

10 20 30 40 50 60 70 80 90 100

10 20 30 40 50 60 70 80 90 100

10 20 30 40 50 60 70 80 90 100

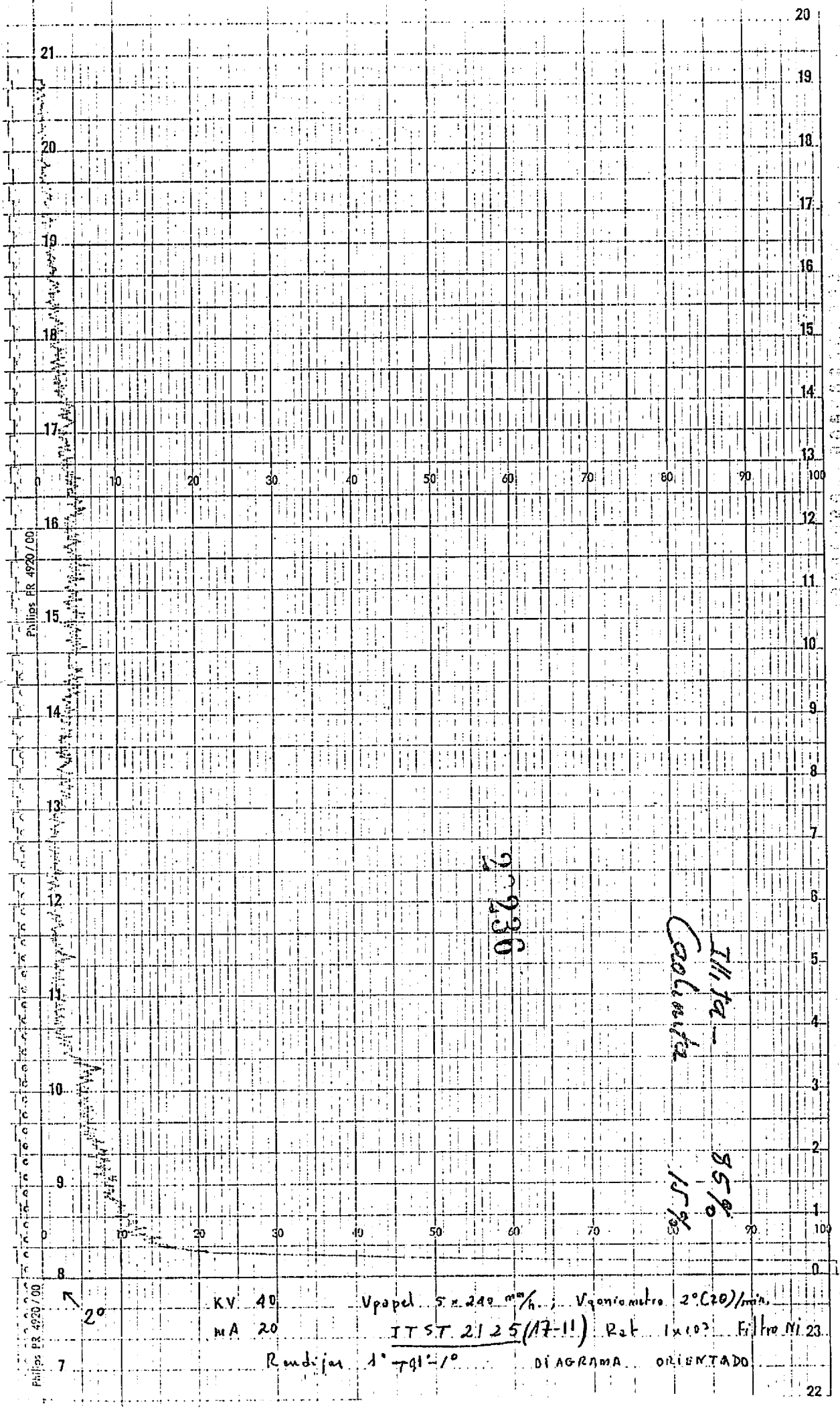
10 20 30 40 50 60 70 80 90 100

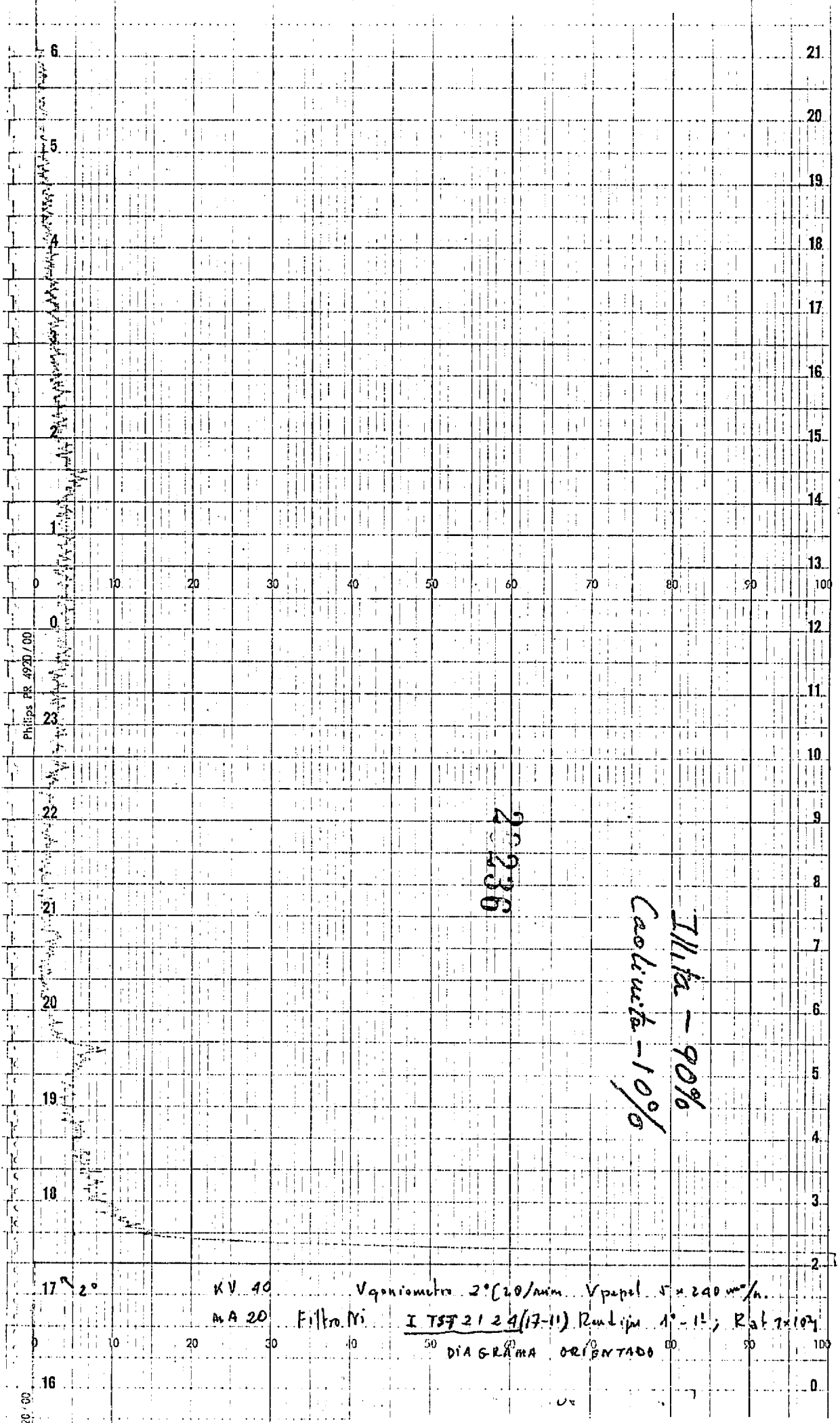
21

22

23

40





ASTUDILLO - 1711 - Calcimetrias

20236

1075 - 98 %	1503 - 94 %	2059 - 86 %	2599 - 89 %
1079 - 84 %	1505 - 66 %	2103 - 85 %	2604 - 88 %
1081 - 94 %	1506 - 73 %	2104 - 92 %	2606 - 92 %
1085 - 91 %	1509 - 79 %	2105 - 97 %	2607 - 89 %
1086 - 98 %	1510 - 94 %	2106 - 78 %	2608 - 41 %
1087 - 95 %	1511 - 87 %	2107 - 93 %	2609 - 33 %
1090 - 93 %	1513 - 90 %	2108 - 71 %	
1093 - 94 %	1515 - 97 %		
	1522 - 91 %		
	1523 - 90 %		
	1524 - 94 %		
	1538 - 99 %		
	1592 - 98 %		
	1594 - 93 %		
	1598 - 90 %		
	1599 - 96 %		